

РОССИЙСКАЯ АКАДЕМИЯ НАУК

СИБИРСКОЕ ОТДЕЛЕНИЕ

А В Т О М Е Т Р И Я

---

2007, том 43, № 1

УДК 004.9 + 004.932.72

**МОДИФИКАЦИЯ АЛГОРИТМА АДАПТИВНОЙ ФИЛЬТРАЦИИ  
ИЗОБРАЖЕНИЙ ТОЧЕЧНЫХ ОБЪЕКТОВ**

**Т. Курманбек уулу**

*Институт автоматики и электрометрии СО РАН, г. Новосибирск*  
*E-mail: ilim-elim@mail.ru*

Предложен алгоритм четырехканальной фильтрации изображений точечных объектов, полученный путем модификации алгоритма адаптивной фильтрации. Показано, что при незначительном ухудшении качества четырехканальной фильтрации по сравнению с адаптивной фильтрацией вычислительные затраты снижаются в несколько раз.

**Постановка задачи.** При регистрации матричным фотоприемным устройством (ФПУ) точечного объекта, т. е. объекта, размер которого сравним с размером элемента ФПУ, форма сигнала существенно изменяется при перемещении координат центра объекта в пределах элемента ФПУ [1]. С целью повышения надежности обнаружения точечных объектов на случайном фоне в [2] был предложен алгоритм адаптивной фильтрации, основанный на методе максимального правдоподобия.

Результатом адаптивной фильтрации является изображение

$$q = \frac{\mathbf{d}^T \mathbf{f}(\hat{x}_0, \hat{y}_0) - \mathbf{e}^T \mathbf{d} \mathbf{e}^T \mathbf{f}(\hat{x}_0, \hat{y}_0) / N}{\sqrt{\mathbf{f}^T(\hat{x}_0, \hat{y}_0) \mathbf{f}(\hat{x}_0, \hat{y}_0) - [\mathbf{e}^T \mathbf{f}(\hat{x}_0, \hat{y}_0)]^2 / N}}, \quad (1)$$

где  $\mathbf{d}$  – вектор, построенный из измерений сигнала ФПУ (рассматривается окрестность  $\Omega$ , состоящая из  $N = 5 \times 5$  элементов);  $\mathbf{f}(\hat{x}_0, \hat{y}_0)$  – определенный на  $\Omega$  адаптивный фильтр, подстраивающийся под положение объекта;  $\mathbf{e} = (\underbrace{1, \dots, 1}_N)^T$ .

Оценки координат объекта  $\hat{x}_0, \hat{y}_0$  относительно центрального элемента окрестности ( $-0,5 \leq \hat{x}_0, \hat{y}_0 \leq 0,5$ , в качестве единицы измерения координат и размера объекта принят шаг матрицы ФПУ) и вид фильтра  $\mathbf{f}$  получаются посредством минимизации функционала

$$J = \left[ \mathbf{d}^T \mathbf{d} - \frac{(\mathbf{e}^T \mathbf{d})^2}{N} \right] - \frac{(\mathbf{d}^T \mathbf{f}(x_0, y_0) - \mathbf{e}^T \mathbf{d} \mathbf{e}^T \mathbf{f}(x_0, y_0) / N)^2}{\mathbf{f}^T(x_0, y_0) \mathbf{f}(x_0, y_0) - [\mathbf{e}^T \mathbf{f}(x_0, y_0)]^2 / N} \quad (2)$$

по параметрам  $x_0, y_0$  в окрестности  $\Omega$  каждого элемента ФПУ.

Численные эксперименты показали [2], что адаптивная фильтрация дает существенное увеличение отношения сигнал/шум, но требует значительных вычислительных затрат, поскольку минимизация (2) осуществляется итерационным способом. Далее предлагается алгоритм, позволяющий существенно уменьшить объем вычислений при незначительном ухудшении отношения сигнал/шум.

**Четырехканальная фильтрация.** Вместо итерационной подстройки фильтра под положение объекта в предлагаемом алгоритме используются четыре фильтра вида (1), настроенные на четыре различных положения центра объекта: в центре ( $x_0^{(1)} = 0, y_0^{(1)} = 0$ ), на краях ( $x_0^{(2)} = 0, y_0^{(2)} = 0,5$ ), ( $x_0^{(3)} = 0,5, y_0^{(3)} = 0$ ) и в угловой точке ( $x_0^{(4)} = 0,5, y_0^{(4)} = 0,5$ ) элемента ФПУ. Результатом работы алгоритма является изображение, каждый элемент которого вычисляется как  $q_{\max} = \max(q^{(1)}, q^{(2)}, q^{(3)}, q^{(4)})$ .

По сравнению с адаптивной фильтрацией такая процедура, во-первых, требует меньшего количества вычислительных операций, и, во-вторых, может быть легко выполнена в целочисленной арифметике, что немаловажно при ее аппаратной реализации. Суть задачи состоит в выяснении, насколько при этом ухудшается качество фильтрации, характеризуемое величиной отклика на выходе фильтра.

**Экспериментальные результаты.** Сравнение качества адаптивной и четырехканальной фильтраций проводилось путем численного моделирования. Изображение объекта в плоскости ФПУ, как и в [2], формировалось в виде гауссоиды  $\frac{A}{2\pi r^2} e^{-(x^2 + y^2)/(2r^2)}$  ( $r = 0,4; 0,5; 0,6; 0,7, A = 100$ ), искаженной

аддитивным некоррелированным нормальным шумом с нулевым средним и среднеквадратичным отклонением (СКО)  $0 \leq s \leq 0,1A$ . Для каждого размера и положения объекта проводилось по 1000 экспериментов, различающихся реализациами шума.

Изменение амплитуды сигнала на выходе ФПУ в зависимости от положения центра объекта относительно центрального элемента окрестности  $\Omega$  для объекта с  $r = 0,4$  показано на рис. 1. Из рисунка следует, что при смещении координат центра изображения объекта от центра элемента к его углу от-

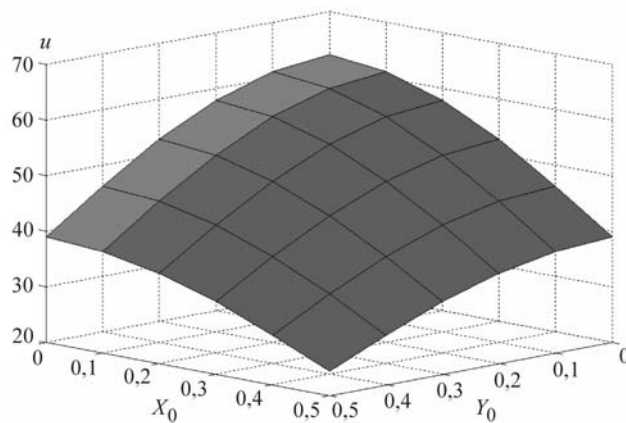


Рис. 1. Зависимость амплитуды выходного сигнала ФПУ от положения центра объекта

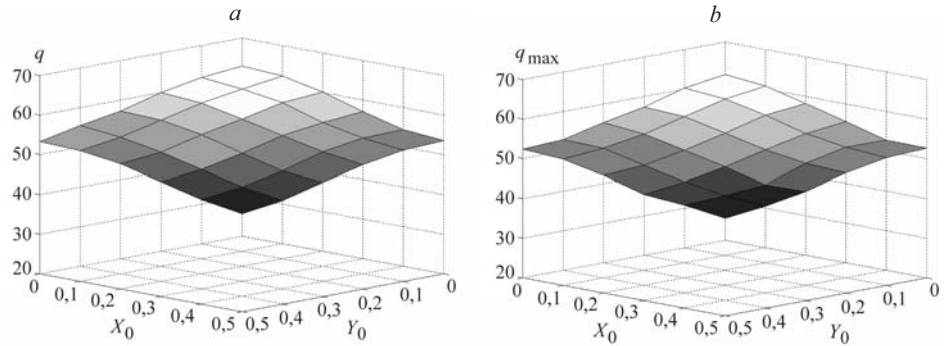


Рис. 2. Отклики фильтров в зависимости от положения центра объекта: адаптивного (a) и четырехканального (b)

ношение сигнал/шум падает почти в 3 раза (с 62 в центре до 24 в угловой точке). При увеличении размера объекта изменение отношения сигнал/шум уменьшается, но остается значительным, пока размер объекта сравним с размером элемента ФПУ.

Отклики  $q$  адаптивного и  $q_{\max}$  четырехканального фильтров, полученные фильтрацией изображения объекта с  $r = 0,4$  и  $s = 10$ , приведены на рис. 2. Четырехканальный фильтр дает практически же результат, как и адаптивный фильтр, позволяющий увеличить отношение сигнал/шум входного изображения в углу элемента в 1,8 раза, а на краях в 1,4 раза (см. рис. 1 и рис. 2, a).

Качество четырехканальной фильтрации в сравнении с адаптивной фильтрацией иллюстрирует рис. 3. Здесь приведено отношение  $q/q_{\max}$  для случая, когда  $r = 0,4$  и  $s = 0$ . Как следует из рисунка, при совпадении положения объекта с положением фильтров  $q^{(1)}, q^{(2)}, q^{(3)}, q^{(4)}$  применение четырехканального и адаптивного фильтров дает одинаковое увеличение отношения сигнал/шум, а в других положениях объекта качество четырехканальной фильтрации незначительно ухудшается (в рассматриваемом случае максимальное ухудшение составляет 11 %).

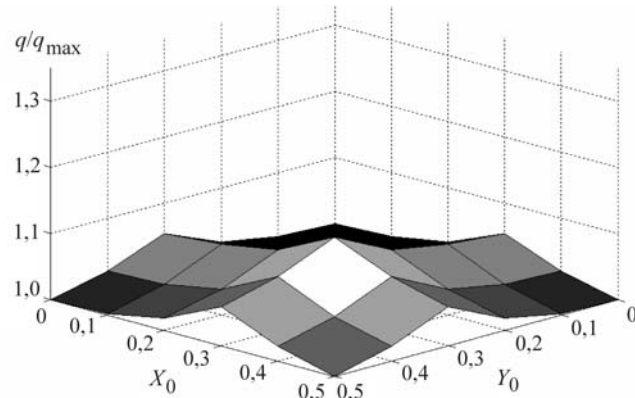


Рис. 3. Отношение отклика адаптивного фильтра к отклику четырехканального фильтра в зависимости от положения центра объекта

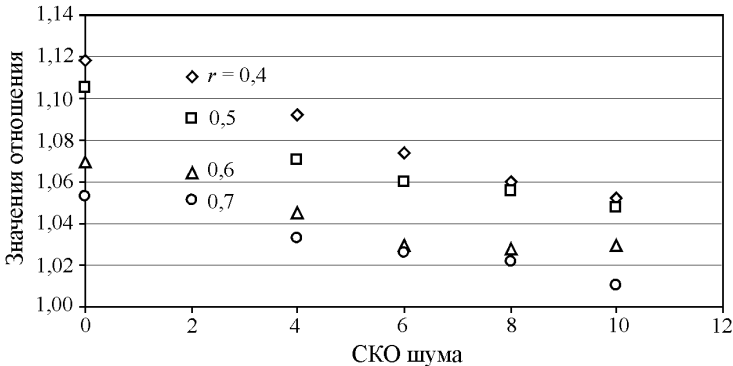


Рис. 4. Отношение отклика адаптивного фильтра к отклику четырехканального фильтра

Зависимость качества четырехканальной фильтрации в сравнении с адаптивной фильтрацией ( $q/q_{\max}$ ) от уровня входного шума для положения объекта в координатах ( $x_0 = 0,3$ ,  $y_0 = 0,3$ ) показана на рис. 4, что является наихудшим случаем в данном алгоритме. Из рисунка видно, что с увеличением уровня входного шума качество четырехканальной и адаптивной фильтраций сближается.

Уменьшение количества фильтров приводит к значительному ухудшению качества фильтрации. Например, когда фильтр вида (1) настраивается только на центр ( $x_0^{(1)} = 0$ ,  $y_0^{(1)} = 0$ ) и угловую точку ( $x_0^{(2)} = 0,5$ ,  $y_0^{(2)} = 0,5$ ) элемента ФПУ, то при фильтрации таким двухканальным фильтром на краях элемента замечено уменьшение значения его отклика на величину  $\sim 31\%$  по сравнению с откликом адаптивного фильтра. Отношение отклика адаптивного фильтра к отклику двухканального фильтра для объекта с  $r = 0,4$  и  $s = 0$  иллюстрирует рис. 5.

**Вычислительные затраты.** Численные эксперименты проводились на персональном компьютере, оснащенном процессором Intel Celeron 600 МГц, ОЗУ 256 Мбайт. Программа была реализована в среде разработки Visual C++ 6.0 на языке программирования C++. При реализации алгоритма четырехка-

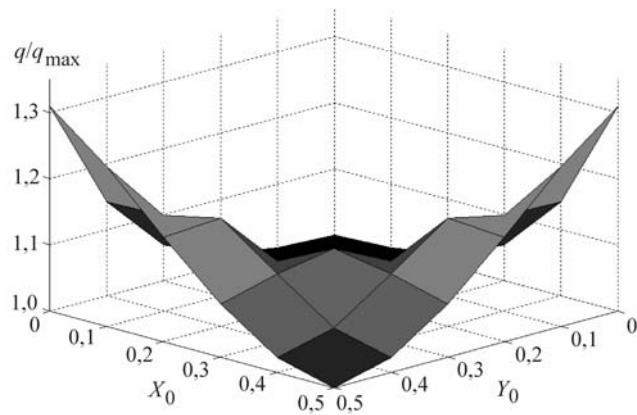


Рис. 5. Отношение отклика адаптивного фильтра к отклику двухканального фильтра в зависимости от положения центра объекта

нальной фильтрации вычислительные затраты снизились в 50–60 раз в сравнении с алгоритмом адаптивной фильтрации. Основной выигрыш достигается за счет исключения итерационной процедуры оценивания параметров  $x_0, y_0$ .

Автор выражает благодарность научному руководителю д-ру техн. наук В. С. Киричуку и канд. техн. наук В. П. Косых за полезные обсуждения работы.

#### СПИСОК ЛИТЕРАТУРЫ

1. **Курманбек уулу Т.** Субпиксельное оценивание координат точечных объектов // Технологии Microsoft в теории и практике программирования. Новосибирск: НГУ, 2006. С. 195.
2. **Киричук В. С., Косых В. П., Курманбек уулу Т.** Адаптивная фильтрация с субпиксельным оцениванием координат точечных объектов // Автометрия. 2006. № 1. С. 3.

*Поступила в редакцию 24 мая 2006 г.*

---